

واکاوی همدید الگوهای جوی مرتبط با یخندهان های فراگیر در استان خوزستان

دریافت مقاله: ۹۷/۴/۲۵ پذیرش نهایی: ۹۷/۸/۲۰

صفحات: ۱-۲۱

زهرا حجازی زاده: استاد گروه اقلیم شناسی دانشکده علوم جغرافیایی دانشگاه خوارزمی، تهران، ایران.^۱

Email:hejazizadeh@yahoo.com

فرشاد پژوه: دانشجوی دکتری اقلیم شناسی دانشکده علوم جغرافیایی دانشگاه خوارزمی، تهران، ایران.

Email:Pazhohf@gmail.com

فردین قدمی: دانشجوی دکتری اقلیم شناسی دانشکده علوم جغرافیایی دانشگاه خوارزمی، تهران، ایران.

Email:Fardin.ghadami@gmail.com

هانیه شکیبا: دانشجوی دکتری آب و هواشناسی دانشکده علوم زمین، دانشگاه شهید بهشتی، تهران، ایران.

Email:shakiba_2916@yahoo.com

چکیده

هدف از این مطالعه واکاوی همدید تعداد روزهای یخندهان در سال استان خوزستان است. بدین منظور با استفاده از داده‌های دمای کمینه روزانه ۱۲ ایستگاه همدید طی دوره آماری ۱۹۹۲ تا ۲۰۱۷ از سازمان هواشناسی کشور، ۵۴ روز یخندهان فراگیر شناسایی گردید. داده‌های فشار تراز دریا،ارتفاع ژئوپتانسیل، باد مداری و نصف‌النهاری و دما با اندازه ۲/۵×۲/۵ درجه قوسی از مرکز ملی اقیانوس و جوشناسی ایالات متحده آمریکا استخراج شدند. بر روی ماتریس داده‌های فشار تراز دریا در ۵۴ روز، تحلیل مؤلفه‌های مبنا انجام شد و ۱۰ مؤلفه که ۸۳ درصد از تغییرات فشار تراز دریا را تبیین می‌کردند، شناسایی شد. سپس با اعمال روش تحلیل خوش‌های سلسله مراتبی با روش ادغام وارد بر روی نمرات ۱۰ مؤلفه مذکور انجام و ۵ الگوی فشار تراز دریا شناسایی شد. نتایج نشان داد که پدیده یخندهان در استان خوزستان از ماه نوامبر تا مارس روی می‌دهد و روند آن طی دوره آماری موربدبررسی کاهاشی می‌باشد. همچنین نواحی شمالی و غربی استان نیز بیشترین فراوانی یخندهان را به خود اختصاص داده‌اند. واکاوی شرایط همدید وردسپهر نیز نشان داد که ۵ الگوی فشار تراز دریا با آرایش‌های متفاوت منجر به یخندهان های فراگیر استان خوزستان می‌شوند. یخندهان های ضعیف و متوسط با نفوذ سامانه‌های پرفشار سرد سیبری و اروپا شکل می‌گیرند. اما یخندهان های شدید با گسترش کم‌فارش ایسلند به سمت ایران همراه با پرفشارهای سرد قوی رخ می‌دهند. در این بین پرفشار قدرتمند سیبری در بیشتر الگوها حضور دارد که برهم‌کنش آن با کم‌فارش‌های جنب قطبی و ایسلند، بیشترین نقش را در وقوع یخندهان های استان خوزستان ایفا می‌کنند. در تراز میانی جو نیز بیشترین نقش را نفوذ ناوه های عمیق از عرض های شمالی و بندال های عظیم شرق اروپا که هوای سرد را از جانب نیمه غربی ناوه ها بر روی کشور فرارفت و ضمن تشدید یخندهان بر تداوم آن نیز افزوده است.

کلید واژگان: یخندهان فراگیر، واکاوی همدید، تحلیل خوش‌های، پرفشار سیبری، خوزستان

۱. نویسنده مسئول: تهران، خیابان مفتح جنوبی، دانشگاه خوارزمی، دانشکده علوم جغرافیایی، گروه اقلیم شناسی.

مقدمه

یخندان یکی از زیان‌آورترین بلایای طبیعی است که معمولاً با خسارت‌های فراوان مالی و حتی جانی همراه است. از بین عوامل اقلیمی، پدیده‌ی یخندان نه تنها حیات تمامی موجودات زنده را با خطر مواجه می‌سازد بلکه نقش مهم و تعیین‌کننده‌ای در مسائل اقتصادی، زیست‌محیطی و عمرانی مانند جاده‌سازی، سدسازی و پل‌سازی دارد. یخندان به عنوان یکی از مخاطرات اقلیمی، هرساله بیشتر نقاط کشور و در بعضی از سال‌ها حتی قسمت‌های جنوبی کشور را در برگرفته و خسارات زیادی را به بار می‌آورد (براتی، ۱۳۷۵: ۱۱۴). به خصوص وقوع ناگهانی آن در ابتدا و انتهای فصل سرما، می‌تواند برای بخش کشاورزی خطرآفرین باشد. بنابراین برای مدیریت کاهش اثرات این پدیده اقلیمی بر بخش کشاورزی توجه جدی به مطالعه دقیق این پدیده ضروری می‌باشد. دما، شاخصی از شدت گرما، یکی از عناصر اساسی شناخت هواست و نظر به دریافت نامنظم انرژی خورشید زمین دستخوش تغییرات بسیار است که خود سبب تغییرات گسترده دیگری در سایر عناصر هواشناسی می‌شود (کمالی، ۱۳۸۱: ۴۴). از نظر جوشناسی و اقلیم‌شناسی، برودت هوا یا کاهش دما را سرما می‌نامند و یخندان حالتی است که دمای هوا پایین‌تر از صفر درجه سانتیگراد برسد (جوادی، ۱۳۵۰: ۷۵). با توجه به موقعیت جغرافیایی کشور، بهار فصلی است که گیاهان بعد از پشت سرنهادن دوره‌ای توقف در رشد، دوباره حیات تازه‌ای را شروع می‌کنند. در شروع چنین دوره‌ای، بروز سرمایی ناگهانی سبب ریزش شکوفه‌ها (در صورت بازشدن) یا تأخیر در شروع دوره‌ی رشد گیاهان می‌شود (عزیزی، ۱۳۸۳: ۹۹). اخیراً، با وقوع آشفتگی‌های اقلیمی، یکی از مهم‌ترین بلایای اقلیمی (تهدیدکننده‌ی جوامع بشری و خصوصاً مناطق گوناگون کشورمان) امواج سرما و یخندان‌های شدید است که در برخی سال‌ها مناطق وسیعی از کشور را دربرمی‌گیرد. این یخندان‌ها عموماً با توده هواهای دارای دمای زیر صفر درجه سانتی‌گراد به مناطق حادث می‌شود. یخندان‌ها موج سرمای نسبتاً پایدار و چندروزه‌ای را با خود به همراه دارند که ممکن است آثار زیان باری در پی داشته باشند (کریمی و همکاران، ۱۳۹۱: ۷۶). مطالعه در مورد یخندان در جهان به مطالعه (بلنک^۱ و همکاران، ۱۹۶۳)، به حدود ۵۰ سال قبل برمی‌گردد. گابریلا^۲ و همکاران (۹۴۱: ۲۰۰۳) در مطالعه تحت عنوان ارتباط گردش جریانات سطحی با یخندان‌های منطقه پامپاس غربی، به بررسی و تحلیل یخندان در این منطقه پرداخته‌اند. مطالعات بعدی با بررسی‌های وسیع‌تر، گردش انتشار موجی یخندان از عرض‌های جغرافیایی بالا به سمت عرض‌های پایین (مناطق حاره‌ای) را به اثبات رساند (گابریلا و ترسیو، ۲۰۰۷: ۹۸).

پارک^۳ و همکاران (۱۴۰۱: ۷۵۶) در بررسی همدید موج‌های سرمای شرق آسیا دوره آماری ۱۹۵۴ تا ۲۰۰۵ فصل سرد روی شرق آسیا نشان دادند که در تراز دریا نفوذ پرفشار سرد سیبری از شمال آسیا و در ترازهای میانی جو نفوذ بندال‌های دوقطبی، رکس و ناوه عمیق از عرض‌های شمالی موجب رخداد موج‌های سرمای شدید و فraigیر در شرق آسیا می‌شوند. همچنین گسترش همزمان پرفشار سیبری و بندال‌های عظیم بر روی منطقه، موج‌های سرمای شدیدتری را در مقایسه با نفوذ الگوهای غیربندالی ایجاد می‌کند. گندمکار^۴ و همکاران

1- Blanc

2- Gabriela

3- Gabriela and Tercio

4- Park

5-Gandomkar

(۲۰۱۴: ۳) نشان دادند که طی دوره مورد نظر بیش از ۱۶۸ روز یخیندان رخ داده، بیش از ۷۶ روز یخیندان شدید با میانگین دمایی ۲,۶۶ درجه سلسیوس بوده است. الگوی اصلی همدید در زمان بروز یخیندان‌های شدید در تراز میانی جو، گسترش محور ناوه با امتداد شمالی-جنوبی بوده است. پال^۱ (۱۴۶۹: ۲۰۱۴) بروز شدیدترین و فرآگیرترین امواج یخیندان و سرما در اروپا را با ناهنجاری‌های بندالی و سیکلونی از شمال اقیانوس اطلس و خشکی اروپا مرتبط می‌داند به‌طوری‌که هوای سرد با جهتی شمال شرقی روی سراسر خشکی اروپا فرارفته می‌گردد. در مطالعه دوره‌های یخیندان و بدون یخیندان در لهستان توسط آرکادیوس^۲ و همکاران (۲۰۱۵: ۸۱۲) نشان داده شد که دوره‌های بدون یخیندان در طی دوره آماری ۱۹۷۱ تا ۲۰۱۰ در بیش از ۵۱ درصد ایستگاه‌ها افزایش یافته است و استقرار گرددش آنتی سیکلونی در سطح دریا و تراز ۵۰۰ هکتوپاسکال منجر به شدیدترین یخیندان‌های لهستان می‌شود. کیم و بیون^۳ (۶۷۵: ۲۰۱۶) در بررسی آخرین یخیندان‌های کره جنوبی دریافتند که نفوذ کم‌فشار قطبی از شمال اقیانوس آرام در تراز دریا و بندال عظیم رکس در تراز میانی جو از سمت کشور روسیه موجب رخداد یخیندان‌های دیررس در شبه‌جزیره کره می‌شود. رosta^۴ و همکاران (۲۰۱۶) در بررسی الگوهای ضخامت یخیندان‌های فرآگیر ایران، ترکیب پرفشار سیبری با پرفشارهای شرق اروپا و آзор در تراز دریا و شکل‌گیری الگوهای مختلف بندالی در تراز میانی جو منجر به دوام و تشديد یخیندان‌های فرآگیر ایران می‌شود. پاسچالیدو^۵ و همکاران (۴۴۴: ۲۰۱۷) در بررسی همدید مرگ‌ومیرهای زمستانه در انگلستان دریافتند که بیشتر مخاطرات و مرگ‌ومیر زمستانه انگلستان مرتبط با امواج سرما و یخیندان است که قرارگیری الگوی بندالی در غرب اروپا و افزایش فشار در شرق و شمال اروپا منجر به کاهش شدید دما و بروز یخیندان می‌شود. هنگامی که از این منطقه، پرفشار سرد و قوی به سمت جنوب گسترش و نفوذ پیدا می‌کند، عامل یورش و سرمای شدید می‌شود و در این یورش، دما بهشت افت پیدا می‌کند. زنگ^۶ و همکاران (۲۰۱۸: ۲۰۹) در واکاوی روند دماهای حدی شمال شرق چین طی دوره ۱۹۶۰-۲۰۱۱ دریافتند که ارتفاع، عرض جغرافیایی و نوسان شمالگان بیشترین ارتباط را با رخداد دماهای حدی دارند. که در این بین در طی فاز منفی نوسان شمالگان پرفشار سیبری و کم‌فشار جنوب قطبی قوی شده و با نفوذ خود بر روی منطقه موجب رخداد موج‌های یخیندان فرآگیر می‌گرددند. میشل^۷ و همکاران (۱۵۴: ۲۰۱۸) در مطالعه‌ای تحت عنوان یخیندان‌های شدید غرب استرالیا در سپتامبر ۲۰۱۶ به این نتیجه رسیدند که با استقرار پرفشار سرد در غرب استرالیا و وزش هوای سرد شمال سو از سمت قطب جنوب و نفوذ بندال‌های عظیم ترازهای میانی جو موجب ثبت پایین‌ترین دماها و رخداد یخیندان‌های شدید می‌شود.

به نظر می‌رسد مطالعه (هاشمی، ۱۳۴۸)، قدیمی‌ترین کار درزمینه‌ی سرما و یخیندان در ایران باشد. هاشمی با انتخاب ۴ آستانه دمایی احتمال وقوع یخیندان را برای تهران تعیین کرده است. (عزیزی، ۹۹: ۱۳۸۳)، با ارزیابی سینوپتیکی یخیندان‌های فرآگیر بهاری در نیمه غربی ایران به این نتیجه رسید تقریباً تمامی موارد

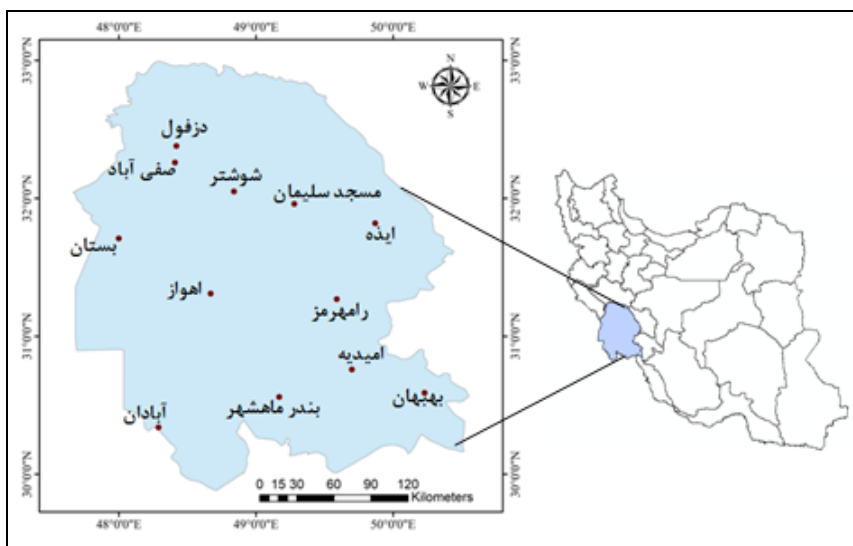
¹-Pfahl²- Arkadius³-Kim and Byun⁴-Rousta⁵-Paschalidu⁶- Zenf⁷-Michael

یخندان فراگیر مورد بررسی، هم‌زمان با وجود سامانه کم ارتفاع روی مناطق شمالی ایران بوده است. (صرحائیان و کمالی، ۱۳۸۴: ۲۰۸)، با استفاده از آمار ۱۳ ساله ۲۶ ایستگاه سینوپتیکی، اقلیمی و تبخیرسننجی تاریخ‌های آغاز و خاتمه نخستین یخندان‌های پاییزه و آخرین یخندان‌های بهاره در منطقه آذربایجان شرقی و غربی را تعیین و بررسی کرده‌اند. نتایج به دست‌آمدۀ نشان می‌دهد که در مناطق منتهای‌الیه غرب و جنوب غربی آذربایجان شرقی در مجاورت کوه سهند، یخندان‌ها زودتر آغاز و دیرتر خاتمه می‌یابند و طول دوره یخندان نیز بیشتر است. هژبرپور و علیجانی (۱۳۸۶: ۸۹) معتقدند که یخندان‌های شمال غرب ایران در دوره‌ی سرد سال بیشتر از نوع یخندان‌های وزشی بوده که از آبان ماه تا فروردین اتفاق می‌افتد. استقرار یک پرفشار در سطح دریا و یک ناوه‌ی عمیق در تراز ۵۰۰ هکتوپاسکال، عامل ایجاد این یخندان‌های شدید و فراگیر است. در مطلعه‌ای دیگر برای این منطقه (مؤتمن، ۱۳۸۵: ۱۲۱)، یخندان‌های شمال غرب آذربایجان را تحلیل کرده و دریافت، یخندان‌های دیررس بهاره در منطقه موردمطالعه از نوع انتقالی بوده که به یخندان‌های تشعشعی ختم می‌شوند و فراگیر هستند. (نوحی و همکاران، ۱۳۸۶: ۸۵)، تاریخ‌های آغاز و خاتمه یخندان بر مبنای دمای حداقل را برای ۱۲ ایستگاه سینوپتیک منطقه آذربایجان در یک دوره مشترک ۱۳ ساله تعیین و یخندان‌های فرارفتی را با کمک نقشه‌های سینوپتیک و بررسی ساعتی پارامترهای جوی از یخندان‌های تابشی فرارفتی تفکیک کردن. (لشکری، ۱۳۸۷: ۱۸)، در بررسی علل سینوپتیکی موج سرمای فراگیر آذرماه ۱۳۸۲ در کشور، هماهنگی و انطباق سامانه‌ها در تراز های زیرین و میانی جو را علت سرمای فراگیر در بخش اعظم کشور می‌داند و عامل اصلی افت نفوذ زبانه‌هایی از پرفشار سبیری در سطح زمین است که در اطراف دریاچه بایکالی شکل‌گرفته است. (علیجانی و هوشیار، ۱۳۸۷: ۱۶)، با بررسی سرمایه‌های شدید منطقه شمال غرب کشور دریافتند در ۷۰ درصد از موارد سرمایه‌ای شدید در شمال غرب ایران، اکثرًا با استقرار ناووه‌ای عمیق بر روی شمال ایران و قرار گرفتن منطقه موردمطالعه در قسمت عقب آن و همچنین وجود یک پرفشار در سطح زمین رخ می‌دهند. (عزیزی و همکاران، ۱۳۸۸: ۱۹) به بررسی و تحلیل سرمای غیر معمول دی ماه ۱۳۸۶ در مقایسه با میانگین درازمدت دمای حداقل ژانویه کشور پرداختند. آن‌ها با بررسی شاخص استاندارد دمای حداقل ژانویه ۲۰۰۸ مشاهده کردنده که به جز ۶ ایستگاه (اهواز، بوشهر، بندرعباس، شیراز، کرمان و ایرانشهر) در نیمه جنوبی کشور در سایر ایستگاهها ناهنجاری بیش از ۵ درجه سلسیوس نسبت به دوره آماری ۳۰ ساله برخوردار بوده است. پژوهنده (۱۳۹۰) یخندان دیررس بهاره در نیمه باختری کشور را از دیدگاه اقلیمی- همدیدی مورد بررسی قرار داد و نتیجه گرفت که احتمال وقوع یخندان دیررس بهاره در مرکز منطقه بیشتر است و دیرترین یخندان‌ها نیز در شمال منطقه مطالعاتی اتفاق می‌افتد و غالباً یخندان‌ها ماهیت فرارفتی دارند. (امیدوار و ابراهیمی، ۱۳۹۱: ۹۷) در واکاوی همدید موج سرمای دی ماه ۱۳۸۶ در ایران مرکزی نشان دادند که این موج سرما از نوع فرارفتی بوده و با قرار گیری پرفشار در شمال دریای خزر و گسترش ناوه عمیق از شرق مدیترانه موجب رخداد سرمای شدید شده است. مسعودیان و دارند (۱۴۰: ۱۳۹۲) در تحلیل همدید یخندان‌های بادوام و فراگیر ایران، ۵ الگوی فشار تراز دریا را با آرایش‌های متفاوت مسئول رخداد یخندان‌های فراگیر و بادوام ایران می‌دانند. عزیزی و همکاران (۱۳۹۴: ۱۰۴) در واکاوی ناهنجاری دمایی ایران و اروپا، نقش مهم شکل‌گیری سامانه‌های بندالی و پشتنه قوی روی اروپا و اطلس را در وقوع دمای حداقل فرین

ایستگاه‌های واقع بر روی ایران مؤثر می‌دانند. دارند و مسعودیان (۹۳: ۱۳۹۴) در مقاله‌ای تحت عنوان مدت‌زمان انتظار رخداد یخیندان در ایران به این نتیجه رسیدند که در دی ماه زمان انتظار بسیار کوتاه است. در ماههای دیگر سال مدت‌زمان انتظار افزایش می‌یابد. در این ماه مدت زمان رخداد یخیندان در روی ارتفاعات زاگرس و شمال شرق کشور ۱ تا ۳ روز است. خسروی و همکاران (۱۴۰: ۱۳۹۴) در بررسی همدید یخیندان زمستان سال ۲۰۰۸ منطقه سیستان نشان دادند که استقرار سامانه چرخندی روی دریاچه بالخاش زمینه را برای ریزش هوای سرد عرض‌های شمالی و کرانه غربی فرود را به منطقه سیستان فراهم کرده است. شدیدترین یخیندان‌ها زمانی رخ می‌دهند که منطقه سیستان در بخش غربی فرود قرار گرفته و از وزش هوای سرد مناطق شمالی برخوردار شود. قویدل رحیمی و همکاران (۴۶: ۱۳۹۵) امواج سرمایی منطقه شمال غرب ایران را ناشی از نفوذ پرفشار در سطح زمین و ناوه عمیق در سطوح میانی وردسپهر می‌دانند و از نظر استمرار سرما تغییر وضعیت باد مداری به نصف‌النهاری که نشانی از بلوکینگ است، بسیار مؤثر می‌باشد. عساکره و شاهبایی (۱۳۹۶: ۱۲۴) در بررسی همدید موج‌های سرمای زمستانی در ایران نشان دادند که تمامی موج‌های سرما با تکوین یک الگوی پرفشار گسترشده بر روی ایران و مناطق همجوار آن روی داده است. دوستکامیان و همکاران (۱۳۹۶: ۷۱۸) در مطالعه همدید امواج سرمایشی و فراغیر شمال غرب ایران نشان دادند که دو سامانه پرفشار مهاجر و سیبری نقش بسیار مهمی در هدایت هوای سرد عرض‌های شمالی به سمت منطقه شمال غرب ایفا کرده‌اند. که در بیشتر الگوها مهم‌ترین پدیده و عامل اصلی وقوع سرما استقرار ناوه عمیق بر روی منطقه است. در واکاوی همدید شهرهای رکورددار سرما در ایران توسط براتی و همکاران (۷۹: ۱۳۹۷) نشان داده شد که هرگاه کانون‌های پرفشار سیبری در میان دریاچه‌های بایکال و بالخاش مستقر شوند، می‌توان رخداد پایین‌ترین دما را در شهرهای ایران هشدار داد. همچنین کوههای آلتایی در آسیای میانه، بامه پامیر و رشته کوههای سلیمان در پاکستان نقش مهمی در هدایت هوای سرد از غرب مغولستان به ایران دارند. خسروی و همکاران (۳۶: ۱۳۹۷) در واکاوی فرارفت دمایی موج‌های سرمایی ایران نشان دادند که امواج سرمایی ایران بیشتر تحت تأثیر فرارفت دمایی ناشی از سامانه‌های پرفشار سرد ترکیبی سیبری، اروپا، تبت و ترکمنستان است که در این بین فرارفت دمایی پرفشار سیبری نسبت به سایر الگوها چشمگیرتر بوده است. هدف از این پژوهش تحلیل همدید روزهای یخیندان استان خوزستان است و با توجه به این که تحقیقی در زمینه بررسی همدید روزهای یخیندان استان خوزستان صورت نگرفته، در این مقاله سعی شده است به علل بروز چگونگی شیوع سرمای فرا رفتی به منطقه جنوب غرب کشور پرداخته شود.

روش تحقیق منطقه مورد مطالعه

در این پژوهش با استفاده از روش محیطی به گردشی، الگوهای همدید توأم با روزهای یخیندان در استان خوزستان شناسایی و بررسی شده است. شکل (۱).



شکل(۱). موقعیت جغرافیایی منطقه مورد مطالعه

داده و روش کار

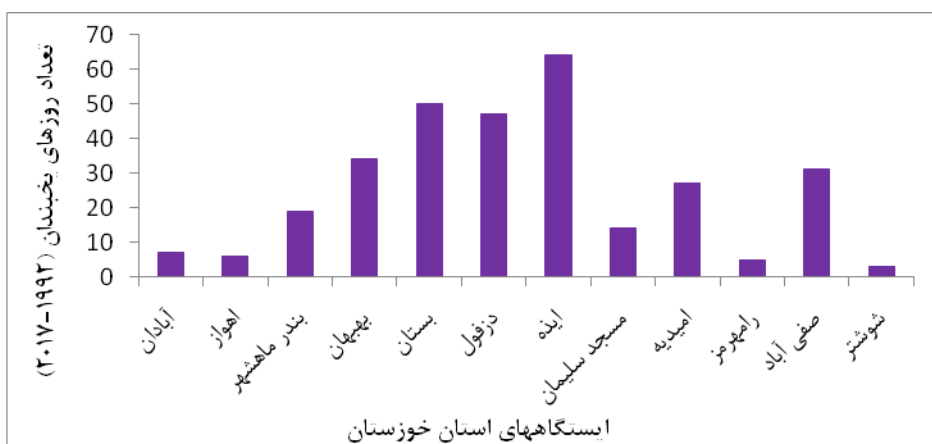
برای انجام تحقیق به دودسته داده نیاز است. یکی داده‌های سطحی و دیگری داده‌های جو بالا. داده‌های دمای کمینه ایستگاه‌های استان خوزستان از سال ۱۹۹۲ تا ۲۰۱۷ از سازمان هواشناسی کشور اخذ گردید. پس از اخذ داده‌های دمای کمینه روزانه از سازمان هواشناسی کشور، یک پایگاه داده دمای کمینه، با آرایه‌ی 9125×12 بدست آمد که بر روی ردیف‌ها روز و بر روی ستون‌ها ایستگاه‌ها قرار داشتند. با در نظر گرفتن دمای صفر و زیر صفر درجه سانتیگراد و فراگیری بیش از 50° درصد، 54° روز یخ‌بندان طی دوره آماری ۲۰۱۷-۱۹۹۲ استخراج گردید. متغیرهای جو بالا شامل فشار تراز دریا، ارتفاع ژئوپتانسیل، باد مداری و نصف‌النهاری و دما به صورت شبکه بندی منظمی با اندازه یاخته‌های 2.5×2.5 درجه قوسی هستند. محدوده‌ای که برای ردیابی سامانه‌های همدید مقیاس انتخاب شد، مناطق بین طول جغرافیایی 10° درجه غربی تا 100° درجه شرقی و عرض جغرافیایی 10° تا 80° درجه شمالی را شامل می‌شود. همچنین، به‌منظور تحلیل الگوی همدید دوره‌های زمانی مذکور با استفاده از داده‌های مرکز پیش‌بینی‌های محیطی در کلرادو امریکا، نقشه‌های فشار تراز دریا و ارتفاع ژئوپتانسیل با استفاده از نرم‌افزار Surfer و نقشه‌های وزش دما با نرم‌افزار Grads ترسیم و واکاوی گردید. سپس با اعمال روش تحلیل مؤلفه‌های مبنا بر روی روزهای همراه با یخ‌بندان و تحلیل خوش‌های به روش ادغام وارد بر روی ماتریس نمرات مؤلفه‌های شناسایی شده، الگوهای همدید موجود رخداد یخ‌بندان شناسایی شدند در روش تحلیل مؤلفه‌های مبنا با آرایش S و چرخش واریماکس برای شناسایی تیپ‌های هوا استفاده شد. جدول (۱) موقعیت جغرافیایی ایستگاه‌های مورد مطالعه در استان خوزستان را نشان می‌دهد.

جدول (۱). ایستگاه‌های مورد مطالعه و موقعیت آن‌ها در استان خوزستان

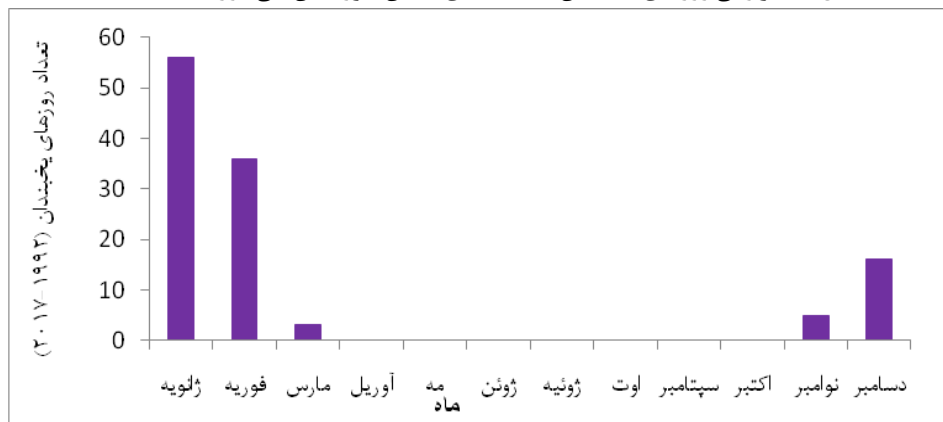
ردیف	نام ایستگاه	طول جغرافیایی درجه دقیقه	عرض جغرافیایی درجه دقیقه		سال تأسیس	ارتفاع
			درجه	دقیقه		
۱	صفی‌آباد	۴۸	۲۶	۳۲	۱۹۸۷	۸۴
۲	آبادان	۴۸	۲۹	۳۰	۱۹۵۱	۱
۳	اهواز	۵۸	۳۱	۳۱	۱۹۵۶	۲۰
۴	ماهشهر	۱۷	۴۹	۳۰	۱۹۸۷	۵
۵	بهبهان	۲۳	۵۰	۳۰	۱۹۹۲	۳۳۱
۶	بستان	۰۰	۴۸	۳۱	۱۹۸۲	۹
۷	دزفول	۴۲	۴۸	۳۲	۱۹۶۱	۱۴۲
۸	ایذه	۵۰	۴۹	۳۱	۱۹۹۲	۸۴۷
۹	مسجدسلیمان	۲۸	۴۹	۳۱	۱۹۹۲	۲۳۶
۱۰	امیدیه	۵۹	۴۹	۳۰	۱۹۸۷	۲۴
۱۱	رامهرمز	۵۷	۴۹	۳۱	۱۹۹۲	۱۶۶
۱۲	شوشتر	۵۴	۴۹	۳۲	۱۹۹۲	۵۵

نتایج

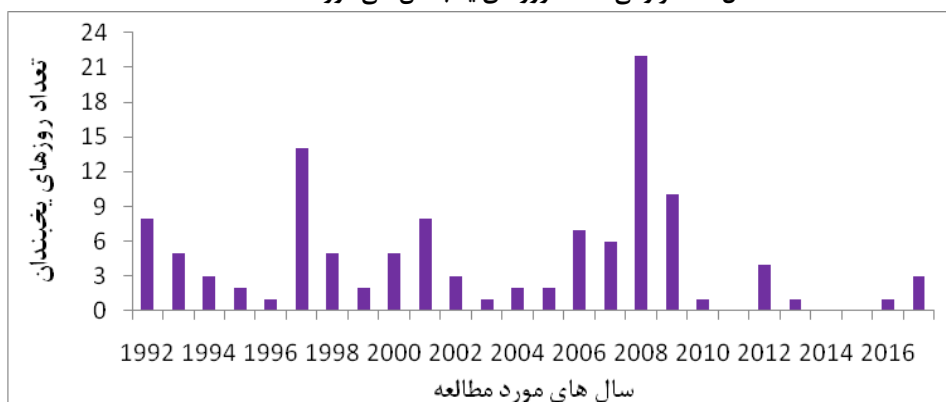
شکل (۲) فراوانی روزهای یخبندان ایستگاه‌های استان خوزستان را طی دوره آماری ۱۹۹۲-۲۰۱۷ نشان می‌دهد. ایستگاه ایذه با ۶۴ روز بیشترین رخداد و ایستگاه شوشتر با ۳ روز یخبندان به ترتیب بیشترین و کمترین فراوانی را به خود اختصاص داده‌اند. بیشتر ایستگاه‌های واقع در شمال و شرق منطقه مورد مطالعه از فراوانی بیشتر یخبندان نسبت به دیگر نقاط استان خوزستان برخوردارند. شکل (۳) فراوانی ماهانه روزهای یخبندان را طی دوره آماری مورد بررسی نشان می‌دهد. همان‌طور که ملاحظه می‌شود از ماه نوامبر (آذر) به تدریج بر تعداد روزهای یخبندان افزوده می‌شود بهنحوی که در ماه ژانویه با ۵۶ روز به صورت فraigیر در همه ایستگاه‌ها به اوج می‌رسد. از ماه آوریل تا اکتبر هیچ‌گونه روز یخبندانی رخ نداده است. همان‌طور که در بررسی فراوانی ماهانه نیز ذکر شد فصل پاییز هم‌زمان با عقب نشینی سامانه‌های گرمایی جنوب حاره و عربستان از روی ایران به سمت عرض‌های جنوبی و نفوذ بادهای غربی و هوای سرد از عرض‌های بالا، به تدریج بر تعداد روزهای یخبندان افزوده شده و در فصل زمستان به اوج خود در استان خوزستان می‌رسد. شکل (۴) فراوانی سالانه روزهای یخبندان استان خوزستان را نشان می‌دهد. بر اساس این شکل در ابتدای دوره آماری تا سال ۲۰۰۰ روندی تقریباً افزایشی در مجموع سالانه روزهای یخبندان مشاهده می‌گردد اما از سال ۲۰۰۰ به بعد علی‌رغم رخداد ۲۲ روز یخبندان در سال ۲۰۰۸ اما فراوانی یخبندان روندی کاهشی به خود گرفته به صورتی که از سال ۲۰۱۰ تا انتهای دوره آماری به کمترین میزان خود در کل دوره ۲۷ ساله (۱۹۹۲-۲۰۱۷) رسیده است. که نشان از تغییرات اقلیمی و گرمایش جهانی و به تبع آن کاهش روزهای یخبندان منطقه مورد مطالعه می‌باشد.



شکل(۲). فراوانی روزهای یخبدان ایستگاههای استان خوزستان طی دوره ۱۹۹۲-۲۰۱۷



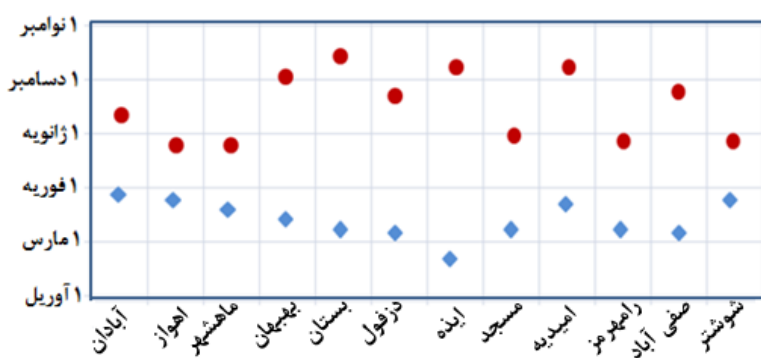
شکل(۳). فراوانی ماهانه روزهای یخبدان طی دوره ۱۹۹۲-۲۰۱۷



شکل(۴). فراوانی سالانه روزهای یخبدان استان خوزستان طی دوره ۱۹۹۲-۲۰۱۷

شکل (۵) اولین و آخرین رخداد یخبدان هر یک از ایستگاههای مورد بررسی را طی دوره آماری ۱۹۹۲-۲۰۱۷ نشان می‌دهد. همان‌طور که دیده می‌شود ایستگاههایی که روز یخبدان را زودتر تجربه کردند، با روزهای

یخبندان دیررس در اوخر زمستان نیز مواجه شده‌اند. ایستگاه‌های ایذه، بستان و بهبهان طولانی‌ترین دوره یخبندان و ایستگاه‌های اهواز، شوشتر و آبادان نیز کوتاه‌ترین طول دوره یخبندان را طی دوره موردنبرسی را داشته‌اند. زودرس‌ترین روز یخبندان مربوط به ایستگاه بستان در ۲۱ نوامبر ۲۰۰۱ با دمای $-0/1^{\circ}$ درجه سلسیوس و دیررس‌ترین روز نیز در ایستگاه ایذه در ۱۰ مارس ۲۰۰۰ با دمای $-0/4^{\circ}$ درجه سلسیوس رخداده است. همچنین مشخص شد که در دوره آماری ۱۹۹۲ تا ۲۰۱۷، طول دوره آغاز و پایان یخبندان از حدود ۱ ماه در ایستگاه اهواز تا بیش از ۳ ماه در ایستگاه ایذه متغیر است.



شکل (۵). دوره وقوع روز یخبندان در استان خوزستان، دایره‌های قرمز اولین رخداد روز یخبندان و لوزی‌های آبی آخرین رخداد روز یخبندان طی ماههای نوامبر تا مارس (۱۹۹۲-۲۰۱۷)

الگوهای فشار تراز دریا موجد روزهای یخبندان استان خوزستان

نتایج حاصل از تحلیل مؤلفه‌های مبنا بر روی ماتریس داده‌های فشار تراز دریا در روزهای همراه با یخبندان نشان داد که با ۱۰ مؤلفه مبنا می‌توان $82/3$ درصد از تغییرات فشار تراز دریا را در چارچوب موردنبرسی تبیین کرد. جدول (۲). مؤلفه اول حدود ۲۱ درصد از تغییرات فشار تراز دریا را در بی دارد. تحلیل خوشبادی به روش ادغام وارد بر روی نمرات ۱۰ مؤلفه نشان داد که روزهای یخبندان منطقه موردپژوهش ناشی از ۵ الگوی فشار تراز دریا هستند. در بیشتر الگوها نقش سامانه واخرخندی سیبری خودنمایی می‌کند. در ادامه هر یک از الگوی شناسایی شده، تشریح خواهند شد.

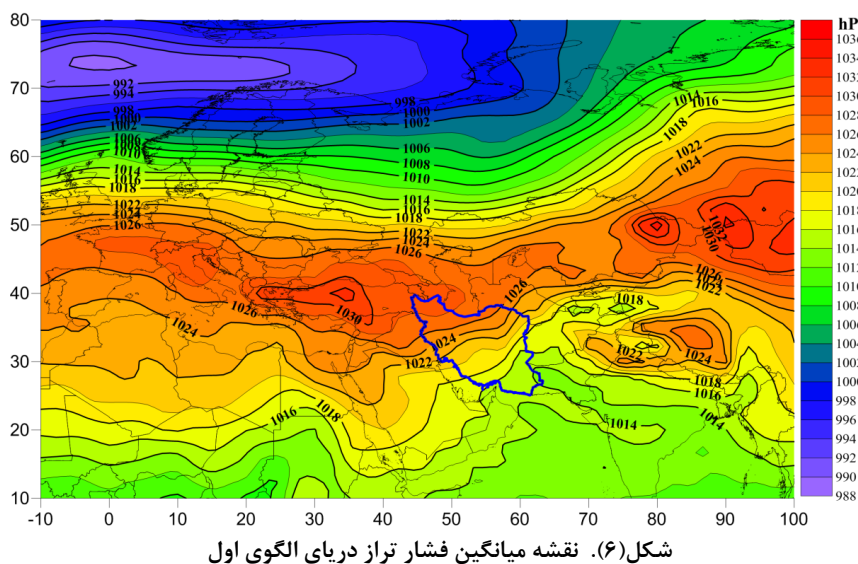
جدول (۲). درصد واریانس عامل‌های فشار تراز دریا

شماره مؤلفه	درصد تبیین	۱	۲	۳	۴	۵	۶	۷	۸	۹	۱۰	کل
		۲۱/۴	۱۴/۱	۱۱/۴	۱۰/۱	۶/۳	۵/۶	۴/۵	۳/۷	۲/۲	۳	۸۲/۳

الگوی اول

شکل (۶) نقشه فشار تراز دریای مرطوب به الگوی پرفشار را نشان می‌دهد. این الگو در ۲۲ درصد از روزهای یخبندان رخداده است. همان‌طور که دیده می‌شود در این الگو پرفشار اروپا با دو هسته 1032 و 1028 هکتوپاسکال بر روی ترکیه و جنوب اروپا قرار دارد. این پرفشار با راستایی شمال غربی به جنوب شرقی با عبور از روی دریای سیاه از گوشه شمال غرب و غرب کشور با خط هم فشار 1024 تا 1022 هکتوپاسکال منطقه

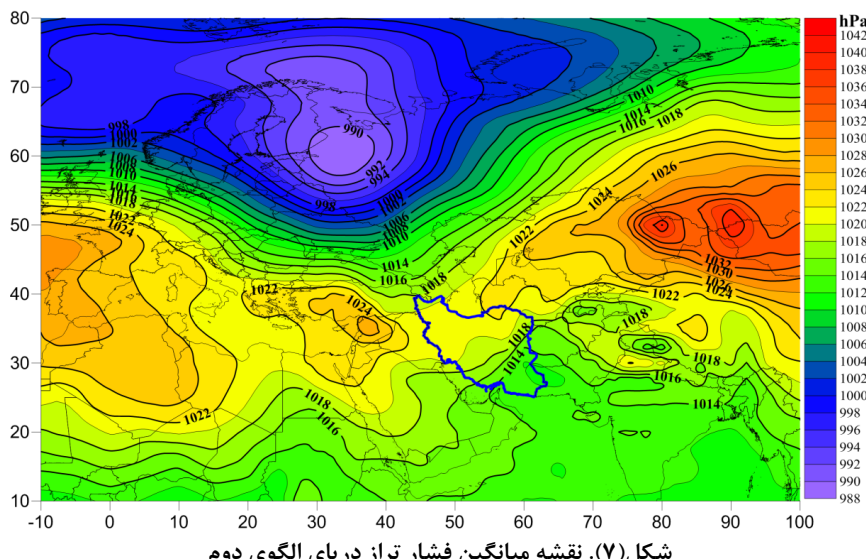
مورد بررسی را فراگرفته است. در این الگو پرفشار قدرتمند سیبری هیچ‌گونه نفوذی به سمت کشور نشان نمی‌دهد. با عقبنشینی پرفشار سیبری، پرفشار اروپا توانسته که از نظر عرض جغرافیایی تا جنوب عربستان و از لحاظ طول شرقی تا شمال افغانستان گسترش یابد. می‌توان این الگو را پرفشار ترکیبی اروپا – کم‌فارش جنوب قطبی نیز نامید بهنحوی که قرارگیری کم‌فارش عظیم جنوب قطبی در شمال پرفشار اروپا و همسو با آن هوای سرد را به سمت عرض‌های جنوبی فرارفت می‌کند.



شکل(۶). نقشه میانگین فشار تراز دریای الگوی اول

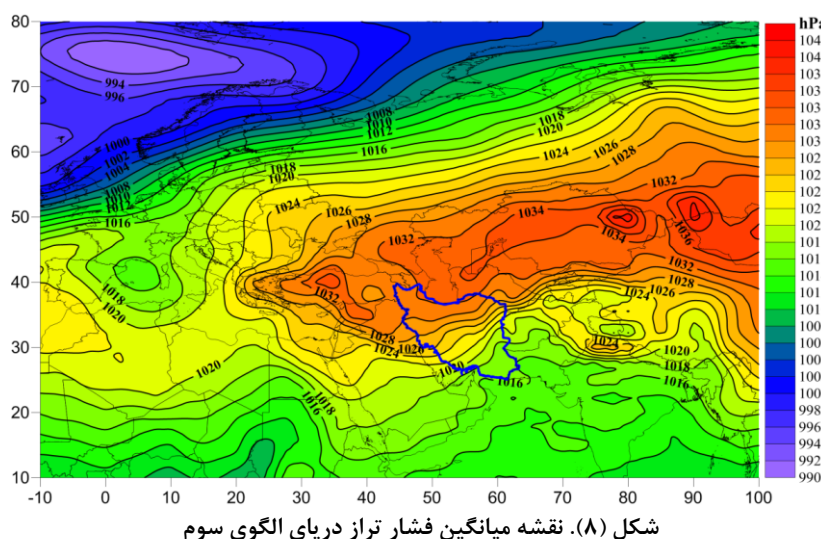
الگوی دوم

شکل (۷) نقشه فشار تراز دریای مربوط به الگوی پرفشار سیبری- اروپا، کم‌فارش جنوب قطبی را نشان می‌دهد. این الگو در بیش از ۱۴/۸۳ درصد از روزهای یخ‌بندان حضور داشته است. در این الگو شاهد نفوذ سامانه‌های سرمایزی متفاوتی به سمت کشور و منطقه مورد پژوهش می‌باشیم پرفشار اروپایی با سمتی شمال غربی به جنوب شرقی، کم‌فارش جنوب قطبی با راستایی تقریباً شمال به جنوب و پرفشار سیبری نیز با راستایی شمال شرق به جنوب غرب منطقه مورد مطالعه را با فرارفت هوای سرد فرا گرفته‌اند. با نفوذ همه جانبی سامانه‌های ذکر شده، فراگیری قابل ملاحظه‌ای روزهای یخ‌بندان استان خوزستان رخداده است و از لحاظ شدت دمای کمینه نیز بعضی ایستگاه‌ها دمای ۴- درجه سلسیوس را تجربه کرده است. علی‌رغم حضور کمتر این الگو نسبت به دیگر الگوها، اما با شکل‌گیری این‌گونه آرایش فشار تراز دریا بر روی کشور و منطقه بیشتر ایستگاه‌ها دمای کمتر از ۲- درجه سلسیوس را ثبت کرده‌اند. میزان فشار واقع بر روی منطقه مربود مطالعه نسبت به الگوی اول کمتر و حدود ۱۰۱۸ هکتوپاسکال است. ملاحظه می‌شود که حد جنوبی کم‌فارش جنوب قطبی تا گوشه شمال غرب کشور گسترش یافته است که در تقویت سامانه‌های پرفشار سیبری و اروپا نقش مهمی را ایفا می‌کند.



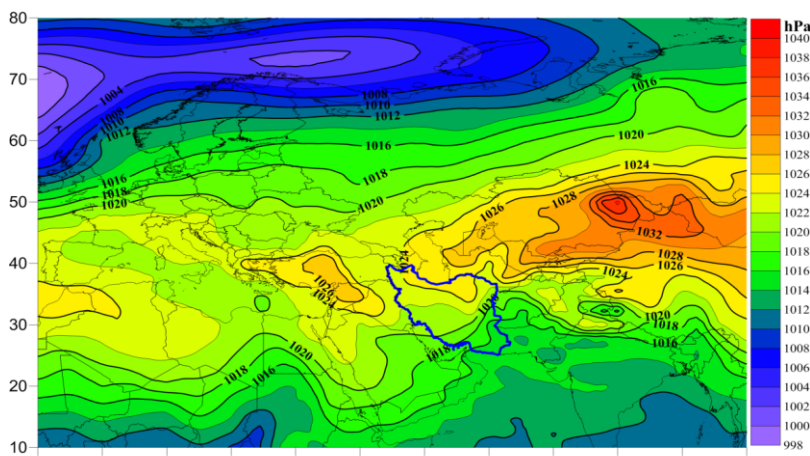
الگوی سوم

همان طور که در شکل (۸) ملاحظه می شود بر خلاف الگوی های قبلی، در این الگو دیگر سامانه های پرفشار اروپایی و کم فشار جنب قطبی حضور ندارند و الگوی پرفشار سیبری به تنها بی با راستایی شمال شرق به جنوب غرب، سراسر ایران و بخش اعظمی از آسیا و اروپا را در بر گرفته است. به نحوی که مرکز بسته ۱۰۳۴ هکتوپاسکالی را بر روی غرب ترکیه ایجاد کرده است و خط هم فشار ۱۰۲۴ هکتوپاسکال از روی منطقه مورد بررسی عبور کرده است. پرفشار قدرتمند سیبری در این الگو به صورت چند هسته ای و از دو سمت شمال شرق و شمال غرب کشور به سمت استان خوزستان و منطقه جنوب غرب کشیده شده است. الگوی پرفشار سیبری با ۱۲/۹۶ درصد کمترین حضور را از میان الگوی دیگر به خود اختصاص داده است اما فرآگیری بیشتر یخندهان ایستگاهها را نسبت به دو الگوی قبلی نشان می دهد.



الگوی چهارم

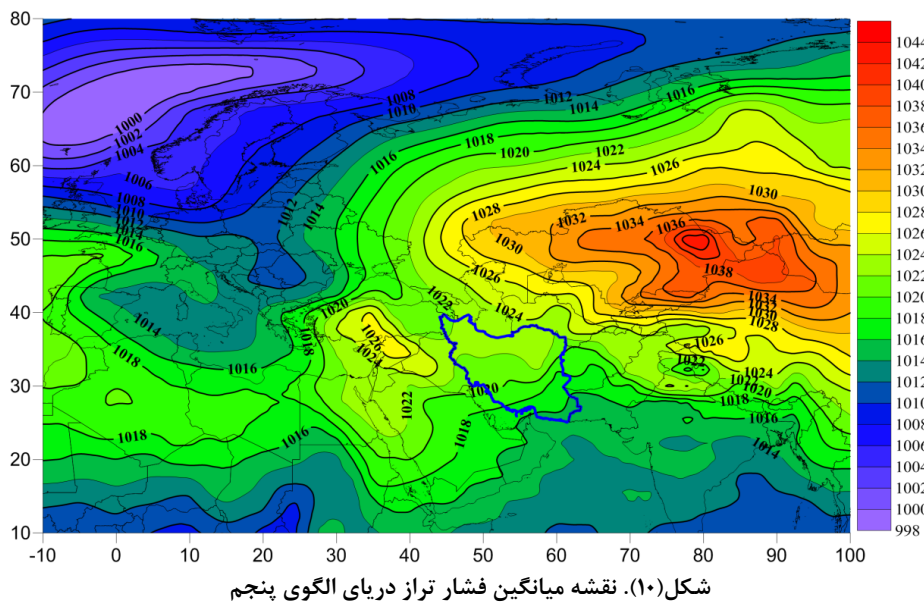
شکل (۹) نقشه میانگین فشار تراز دریا را مربوط به الگوی پرفشار سیبری - اروپا نشان می‌دهد. همان‌طور که دیده می‌شود پرفشار اروپا با مرکز بسته ۱۰۲۶ هکتوپاسکال با راستایی شمال غربی به جنوب شرقی بر روی کشور ترکیه مستقر شده است که خطوط هم فشار آن تا جنوب کشور توسعه یافته است. در مقابل نیز پرفشار سیبری با مرکز بسته ۱۰۳۶ هکتوپاسکال و با حضوری بیشتر و قدرتمندتر نسبت به پرفشار اروپایی به سمت منطقه موردبررسی نفوذ کرده است. در این الگو کم‌فشار جنوب قطبی و ایسلند گسترشی به درون کشور نداشته است اما خط هم‌فشار آن تا شمال کشور ترکیه رسیده است و به صورت غیرمستقیم با تزریق هوای سرد به درون سامانه‌های پرفشار ذکر شده موجب تقویت جریان هوای سرد فرارفت شده به درون کشور شده است. در روز ۱۴ ژانویه ۱۹۹۸ یکی از روزهای یخ‌بندان واقع در الگوی پرفشار سیبری - اروپا دمای ایستگاه ایده به $-6/8$ درجه سلسیوس رسیده است. این الگو بیشترین درصد حضور را میان الگوهای فشار تراز دریای شناسایی شده با ۲۷/۷۷ درصد داشته است.



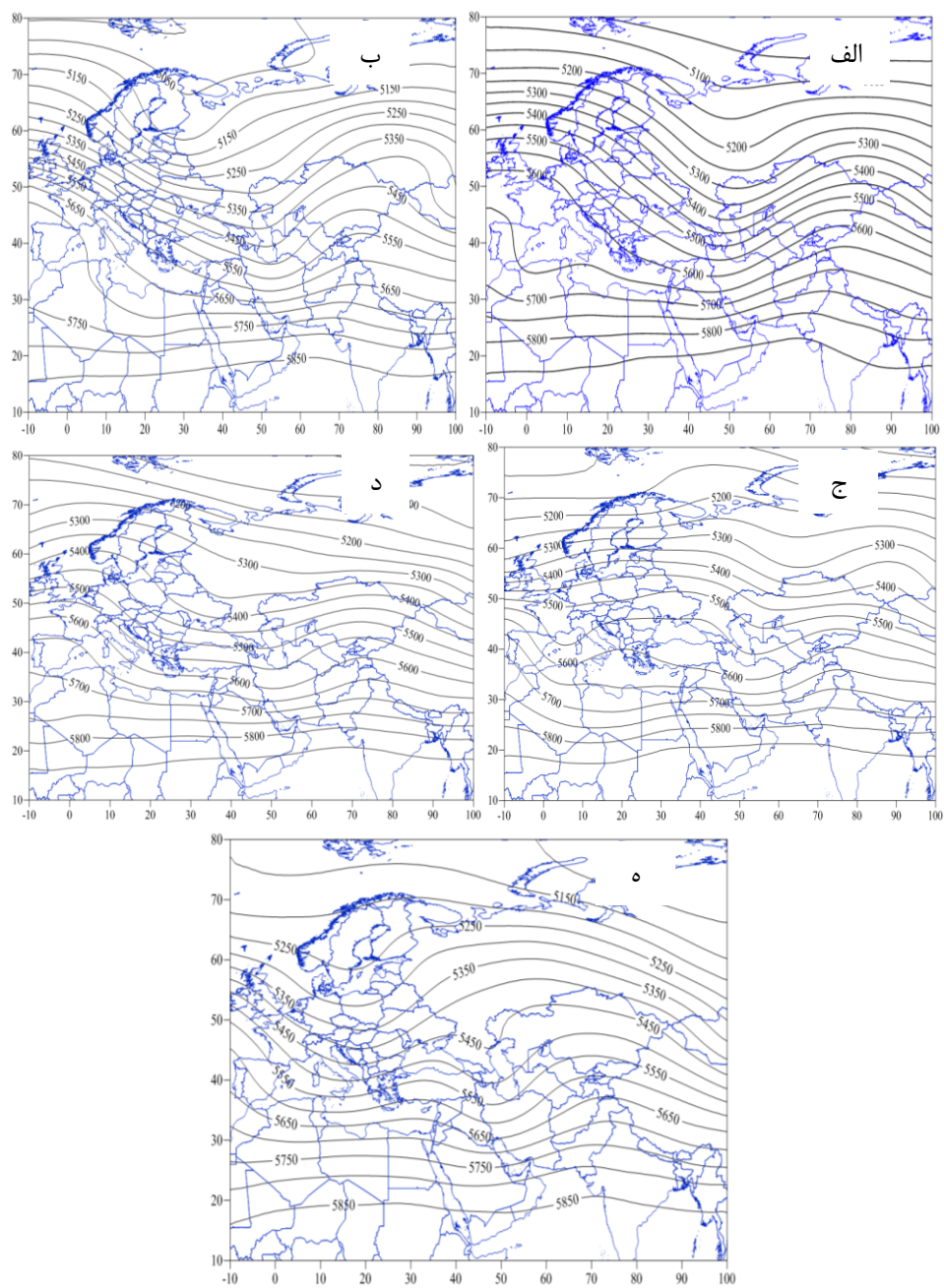
شکل (۹). نقشه میانگین فشار تراز دریای الگوی چهارم

الگوی پنجم

با توجه به شکل (۱۰) نقشه فشار تراز دریای الگوی پرفشار سیبری، کم‌فشار ایسلند - جنوب قطبی ملاحظه می‌شود که آرایش خطوط فشار متفاوت‌تر از سایر الگوها می‌باشد بهنحوی که مرکز بسته پرفشار سیبری در بالاترین حد شمالی خود در شمال مغولستان و دریاچه بالخاش قرار گرفته است و میزان فشار آن به ۱۰۴۲ هکتوپاسکال افزایش یافته است. همچنین با عقب نشینی پرفشار اروپایی، کم‌فشار ایسلند - جنوب قطبی با نفوذ های متفاوت از شمال روسیه تا شمال اروپا و اقیانوس اطلس در بیشتر روزهای مورد بررسی از شمال غرب کشور با فرارفت هوای سرد از سمت عرض های بالا به درون پرفشار سیبری موجب رخداد فرگیرترین و شدیدترین روزهای یخ‌بندان در منطقه مورد مطالعه گردیده است. نکته قابل توجه اینکه روزهای یخ‌بندان ایستگاه اهواز تنها در این الگو رخداده است. این الگو مانند الگوی اول در بیش از ۲۲ درصد از روزهای یخ‌بندان استان خوزستان نقش داشته است.



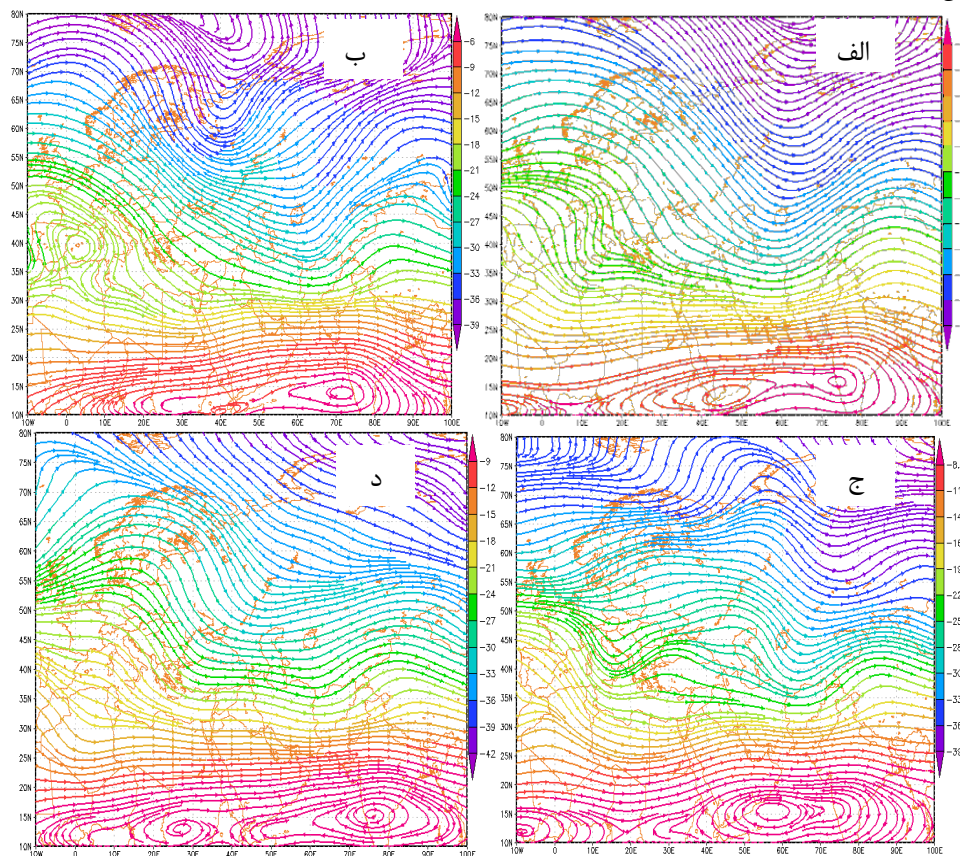
شکل (۱۱) نقشه‌های میانگین ارتفاع ژئوپتانسیل تراز ۵۰۰ هکتوپاسکال را در هر یک از الگوهای موجود یخبندان استان خوزستان نشان می‌دهد. همان‌طور که ملاحظه می‌گردد کشیده شدن ناوه حاصل از کم ارتفاع در شمال روسیه و اروپا تا مناطق مرکزی شبه‌جزیره عربستان و قرارگیری ایران و منطقه مورد مطالعه در پشت ناوه، هوای سرد شمالگان را به سمت عرض‌های پایین فرارفت می‌کند. در همه الگوها استقرار پشته‌ای عظیم بر روی اروپا و شمال آفریقا موجب انحراف بادهای غربی به سمت شمال اروپا، تضعیف چرخندزایی مدیترانه و ایجاد پریندهای مداری بر روی شبه‌جزیره عربستان شده است که ضمن قطع فرارفت هوای گرم و مرتبط از سمت دریایی عرب و دریای سرخ، جریان‌های سرد را با راستایی شمال غربی به جنوب شرقی از سمت عرض‌های شمالی به طرق منطقه جنوب غرب ایران منتقل می‌کند. در الگوهای سوم و چهارم (شکل ۱۱-ج و د) که پرفشار قدرتمند سیبری در رخداد یخبندان نقش ایفا می‌کند، در تراز میانی وردسپهر ناوه‌های کم‌عمق و دو دامنه بر روی کشور گسترش می‌یابد. اما در الگوهای اول، دوم و چهارم (شکل ۱۱-الف، ب، گ) کم‌فارشار ایسلند همراه با پرفشار سرد سیبری و اروپا، در تقویت فرارفت سرما و رخداد یخبندان بیشترین تأثیر را از خود نشان داده است، ناوه‌ها عمیق‌تر شده و با نصف‌النهاری‌تر شدن جریان هوا از عرض‌های شمالگان، یخبندان‌های شدید و فرآگیرتری در منطقه رخ می‌دهد.

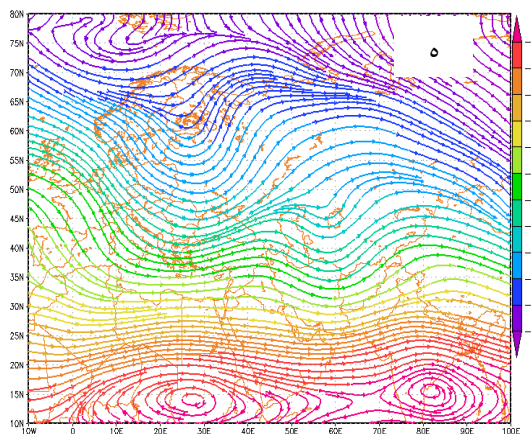


شکل (۱۱). نقشه‌های میانگین ارتفاع ژئوپتانسیل الگوی های الف: اول، ب: دوم، ج: سوم، د: چهارم، ه: پنجم

شکل (۱۲) نقشه‌های وزش دمایی را در تراز ۵۰۰ هکتوپاسکال برای ۵ الگوی موجود یخیندان نشان می‌دهد. با توجه به شکل زیر گیری بندال‌های عظیم بر روی اروپا و قرارگیری منطقه جنوب غرب ایران در شرق محور پشتہ یا غرب محور ناوه، جریان هوای سرد با عبور از ترکیه و عراق فرارفت می‌شود. در الگوهای اول،

چهارم و سوم (شکل ۱۲-الف، ۱۲-ب، ۱۲-ج) که به ترتیب ضعیفترین امواج یخبندان را در استان خوزستان ایجاد کرده‌اند خطوط وزش دما مداری بوده و خط هم‌دماهی ۲۱-درجه سلسیوس تا شمال غرب و غرب ایران گسترش یافته است. اما در الگوهای دوم و پنجم (شکل ۱۲-ب، ۱۲-ج) که در شدیدترین و فراگیرترین روزهای یخبندان نقش داشته‌اند وزش هوای سرد نصف‌النهاری بوده و با شمالی‌تر بودن جریان‌ها، شدت سرما و یخبندان نیز افزایش یافته است بهنحوی که روزهای یخبندان ایستگاه اهواز تنها با شکل‌گیری الگوی پنجم رخداده است. در الگوی دوم و پنجم برخلاف دیگر الگوها که تنها نقش سامانه‌های پرفشار سرد سیبری و اروپا در بروز یخبندان دیده می‌شود، می‌توان گفت که مهم‌ترین سامانه در رخداد روزهای یخبندان منطقه متعلق به کم‌پشار ایسلند است. در این الگوها خط هم‌دماهی ۲۱-درجه سلسیوس تا سواحل شمالی خلیج‌فارس نیز گسترش یافته است.





شکل(۱۲). نقشه‌های میانگین وزش دمایی الگوهای الف: اول، ب: دوم، ج: سوم، د: چهارم، ه: پنجم

جدول (۳) میانگین دمای کمینه روزانه ایستگاههای موردمطالعه را در هر یک از الگوی فشار تراز دریا نشان می‌دهد. همان‌طور که ملاحظه می‌شود قوی‌ترین الگو مربوط به الگوی پرفشار سبیری، کم‌پوشار ایسلند-جنوب قطبی می‌باشد. در این الگو شدیدترین، بادوام‌ترین و فرآگیرترین روزهای یخ‌بندان منطقه موردمطالعه به وقوع پیوسته است. به نحوی که روزهای یخ‌بندان ایستگاهی مثل اهواز فقط در این الگو رخداده است. بعد از الگوی پرفشار سبیری، کم‌پوشار ایسلند-جنوب قطبی، الگوی پرفشار سبیری-اروپا یخ‌بندان‌های شدید و بادوامی را ایجاد می‌کنند. در این الگو مانند الگوی اول و پنجم ایستگاههای مثل آبادان و رامهرمز که به‌ندرت روزهای یخ‌بندان را تجربه کرده‌اند با نفوذ این الگو با یخ‌بندان بادوام و شدیدی موافق می‌شوند. الگوی پرفشار اروپا-سبیری، کم‌پوشار جنوب قطبی یکی از الگوهایی هست که علی‌رغم فرآگیری و دوام کمتر روزهای یخ‌بندان اما از نظر ویژگی شدت بسیار قوی‌تر از دیگر الگوهای شناسایی شده، می‌باشد. به نحوی به محض استقرار این نوع الگو بر روی کشور کمترین مقادیر دمای کمینه رخ می‌دهند. اما الگوی سوم پرفشار سبیری که کمترین درصد فراوانی روزهای یخ‌بندان را به خود اختصاص داده است از نظر شدت دمایی یخ‌بندان‌های متوسط تا ضعیفی را ایجاد می‌کند ولی در هنگام نفوذ آن بر روی منطقه موردمطالعه فرآگیری و دوام قابل ملاحظه‌ای را در پی دارد. ضعیفترین روزهای یخ‌بندان در هنگام شکل‌گیری و گسترش الگوی اول پرفشار اروپایی بر روی منطقه موردمطالعه رخداده‌اند. اما از فرآگیری و دوام بیشتری نسبت به الگوی دوم پرفشار اروپا-سبیری، کم‌پوشار جنوب قطبی برخوردار است. جدول (۴) فراوانی ماهانه هر یک از الگوهای فشار تراز دریای شناسایی شده را نشان می‌دهد. همان‌طور که دیده می‌شود روزهای یخ‌بندان استان خوزستان از ماه آبان تا اسفند رخ می‌دهند و در دیگر ماههای سال در طی دوره آماری ۱۹۹۲-۲۰۱۷ اتفاق نیفتاده‌اند. ماه آبان با یک رخداد مربوط به الگوی اول و ماه دی با ۸ رخداد یخ‌بندان مربوط به الگوی چهارم کمترین و بیشترین فراوانی را به خود اختصاص داده‌اند. ماه بهمن بیشترین فراوانی ۴ الگو از ۵ الگوی فشار تراز دریا را تجربه کرده است. شکل (۱۳) نیز درصد فراوانی هر یک از الگوهای فشار تراز دریای را طی دوره آماری مورد بررسی نشان می‌دهد. در این شکل الگوی چهارم با ۲۷/۷۷ درصد، الگوی پنجم و اول به طور برابر با ۲۲/۲۲ درصد، الگوی دوم با ۱۴/۸۳ درصد و الگوی

سوم با ۱۲/۹۶ درصد به ترتیب بیشترین و کمترین درصد فراوانی را در زمان رخداد روزهای یخبندان استان خوزستان داشته‌اند.

جدول(۳). میانگین دمای کمینه ایستگاه‌ها در هر یک از الگوهای استخراج شده روزهای یخبندان استان خوزستان طی دوره ۱۹۹۲-۲۰۱۷

الگوها	آبادان	اهواز	ماهشهر	بهبهان	بسنان	دزفول	ایذه	مسجد	امیدیه	رامهرمز	صفی‌آباد	شوستر	ایستگاه
اول					-۰/۵	-۰/۶	-۰/۴	-۰/۸	-۰/۴	-۰/۴	۰	-۰/۹	.
دوم		-۲/۲	-۲/۸	-۱/۲	-۱/۲۵	-۰/۷	-۰/۵		-۳/۵		-۱/۸		-۱/۸
سوم	-۰/۸	-۰/۲	-۰/۹	-۰/۸	-۰/۹	-۰/۹	-۱/۲	-۰/۵	-۰/۵		-۰/۹۵		-۰/۹۵
چهارم	-۰/۲	-۰/۴۷	-۰/۰۷	-۰/۸۳	-۰/۵۵	-۰/۱	-۱/۳۸	-۰/۲۵	-۰/۲۵	-۰/۷	-۰/۲	-۱/۶	-۱/۶
پنجم	-۱/۲	-۱/۲	-۰/۶۷	-۰/۶۷	-۱/۴۵	-۰/۸	-۰/۲۳	-۲/۳	-۰/۹۸	-۰/۹۸		-۰/۶۵	-۰/۶۵

جدول(۴). فراوانی ماهانه هر یک از الگوهای گردشی فشار تراز دریای روزهای یخبندان فraigیر استان خوزستان

الگوها	اول	دوم	سوم	چهارم	پنجم	مجموع	ماه
				۱	۱	۱	آبان
۲		۲	۳	۳	۲	۹	آذر
۱	۲	۱	۲	۸	۴	۱۷	دی
۵	۵	۳	۳	۴	۴	۲۰	بهمن
۳	۲	۲	۱	۱	۱	۷	اسفند



شکل(۱۳). درصد فراوانی هر یک از الگوهای فشار تراز دریایی موجود یخبندان

نتیجه‌گیری

هدف از انجام پژوهش شناسایی و واکاوی الگوهای فشار تراز دریا در هنگام رخداد یخبندان طی دوره آماری ۱۹۹۲ تا ۲۰۱۷ در استان خوزستان است. با توجه به هدف پژوهش از رویکرد محیطی به گردشی استفاده شد. بررسی آماری روزهای یخبندان نشان می‌دهد که ایستگاه‌های ایذه، بستان، و دزفول در نیمه شمالی و غرب استان بیشترین تعداد روزهای یخبندان را ثبت کرده‌اند و ایستگاه‌های شوستر، رامهرمز و اهواز نیز کمترین

روزهای یخندان را تجربه کرده‌اند. روزهای یخندان استان خوزستان در فصول پاییز و زمستان یعنی در ماههای نوامبر تا مارس رخ می‌دهند که بیشینه آن در ماه ژانویه با ۵۶ روز می‌باشد. بررسی فراوانی روزهای یخندان در مقیاس سالانه در دوره آماری ۱۹۹۲ تا ۲۰۱۷ نشان می‌دهد که از سال ۲۰۰۰ به بعد روزهای یخندان روندی کاهشی را داشته به صورتی که از سال ۲۰۱۰ به بعد بیشترین کاهش طی دوره مورد بررسی اتفاق افتاده است. جهت انجام بخش همدید ابتدا بر روی ماتریس داده‌های فشار تراز دریای ۵۴ روز یخندان، تحلیل مؤلفه‌های مبنای انجام شد و ۱۰ مؤلفه که حدود ۸۳ درصد از تغییرات فشار تراز دریا را تبیین می‌کردند، شناسایی شد. جهت شناسایی الگوهای همدیدی، بر روی نمرات مؤلفه‌ها، تحلیل خوشای به روش ادغام وارد انجام شد. نتایج همدید الگوهای فشار تراز دریای شناسایی شده نشان داد که ۵ الگوی فشار تراز دریا: ۱- پرفشار اروپا ۲- پرفشار اروپا - سیبری و کم‌فشار جنب قطبی ۳- پرفشار سیبری ۴- پرفشار سیبری - اروپا ۵- پرفشار سیبری و کم‌فشارهای جنب قطبی - ایسلند موجب رخداد فرارفت هوای سرد و رخداد پدیده یخندان در استان خوزستان می‌شوند. شدیدترین و فرآگیرترین یخندان‌ها در هنگام گسترش الگوی پنجم (پرفشار سیبری و کم‌فشار ایسلند- جنب قطبی) و ضعیفترین یخندان‌ها نیز در هنگام حاکمیت الگوی اول (پرفشار اروپا) رخ می‌دهند. از میان ۵ الگوی شناسایی شده، الگوی چهارم (پرفشار سیبری - اروپا) با ۲۷/۷۷ درصد بیشترین نقش را بر موقع روزهای یخندان داشته است و الگوی سوم (پرفشار سیبری) با ۱۲/۹۶ درصد کمترین تأثیر را از خود نشان داده است. در بیشتر الگوها پرفشار سیبری حضور داشته که برهمنکش آن با سامانه‌های کم‌فشار جنب قطبی و ایسلند نقش مهمی در رخداد یخندان به صورت فرآگیر در سراسر خوزستان و گرمترین نقاط مانند اهواز و آبدان دارد. در الگوهای دوم و پنجم کم‌فشارهای جنب قطبی و ایسلند به صورت مستقیم با فرارفت هوای سرد به سمت منطقه مورد بررسی و به صورت غیر مستقیم موجب تقویت و جا به جایی پرفشار سرد سیبری و مهاجر اروپایی به سمت عرض های پایین تر و افزایش فرآگیری و شدت یخندان‌ها می‌گردد. در بررسی نقشه‌های میانگین ارتفاع ژئوتانسیل و وزش دمایی تراز ۵۰۰ هکتوپاسکال نیز ناوه‌های عمیق نفوذ یافته از شمال روسیه و استقرار بندال‌های عظیم در مرکز و شرق اروپا ضمن اینکه هوای سرد را از طریق نیمه غربی ناوه‌ها و با راستایی شمال غربی به جنوب شرقی بر روی منطقه جنوب غرب کشور فرارفت کرده، موجب تقویت سامانه‌های پرفشار سرد سطحی نیز شده است. نتایج حاصل از تحقیقات عساکره و شاهبایی کوتایی (۱۳۹۶) در بررسی موج‌های سرمای زمستانی در ایران، مسعودیان و دارند (۱۳۹۲) در بررسی همدید یخندان‌های فرآگیر و بادوان ایران و علیجانی و هوشیار (۱۳۸۷) در شناسایی الگوهای همدید سرماهای شدید شمال غرب ایران، تأییدی بر یافته‌های تحقیق کنونی است. اما برخلاف تحقیق خسروی و همکاران (۱۳۹۷) که سامانه‌های کوچک مقیاس تر مانند پرفشار شرق خزر و ترکمنستان و براتی و همکاران (۱۳۹۷) پرفشار سیبری و مهاجر اروپایی را نیز در موقع سرماهای شدید ایران مؤثر می‌دانند. در این تحقیق نقش و تأثیر بیشتر سامانه‌های همدید و بزرگ مقیاس کم‌فشار جنب قطبی و ایسلند همراه با پرفشارهای سرد در رخداد یخندان‌های منطقه مورد مطالعه، آشکار گردید. نکته قابل توجه اینکه در بیشتر تحقیقات داخلی مرتبط با سرما و یخندان جنوب غرب کشور را به عنوان منطقه قادر روز یخندان ذکر کرده‌اند. در حالی که در تحقیق کنونی سراسر استان خوزستان روز یخندان را طی دوره آماری ثبت کرده‌اند. لذا واکاوی مخاطرات

آب و هوایی مانند موج سرما به صورت منطقه ای و در مناطقی که انتظار رخداد اینگونه پدیده ها کمتر از سایر پنهانه های کشور است، ضروری بنظر می رسد. با توجه به اینکه تاکنون تحقیقی در زمینه تحلیل همدید یخندهان های استان خوزستان انجام نشده است نتایج حاصل از این تحقیق می تواند مخاطرات احتمالی را در بخش های مختلف، بهویژه در بخش کشاورزی را در آینده به حداقل رساند.

منابع

- امیدوار، کمال؛ ابراهیمی، عاطفه. (۱۳۹۱). تحلیل همدیدی موج سرمای شدید ۱۶ تا ۲۵ دی ماه ۱۳۸۶ در ایران مرکزی (استان های اصفهان، کرمان و یزد)، فصل نامه می جغرافیا و برنامه ریزی محیطی، ۴۵ (۱): ۸۱-۹۸.
- براتی، غلامرضا. (۱۳۷۵). طراحی و پیش بینی الگوهای سینوپتیک یخندهان های بهاره ایران، رساله دکتری اقلیم شناسی، دانشکده علوم انسانی، دانشگاه تربیت مدرس.
- براتی، غلامرضا. (۱۳۸۷). روابط سیستمی پرشمار مهاجر و یخندهان های بهاره ای ایران، فصل نامه تحقیقات جغرافیایی، ۵۳ (۵۲): ۱۵۰-۱۳۲.
- براتی، غلامرضا؛ مرادی، محمد؛ شیری، فاطمه. (۱۳۹۷). واکاوی همدید شهرهای رکورددار سرما در ایران، مجله جغرافیای طبیعی، ۱۱ (۳۹): ۸۰-۶۹.
- پژوهنده، محمود. (۱۳۹۰). بررسی اقلیمی و سینوپتیکی مدت و شدت یخندهان دیررس بهاره در نیمه غربی کشور، پایان نامه کارشناسی ارشد، براهنمایی جواد بذرافشان، دانشکده کشاورزی دانشگاه تهران.
- جوادی، شهرام. (۱۳۵۰). هواشناسی کشاورزی و اثرات سرما و گرما بر روی گیاهان، انتشارات دانشگاه تبریز، تبریز.
- خسروی، محمود؛ صفرزائی، نعمت ا...؛ آرامش، محسن. (۱۳۹۴). تحلیل همدید یخندهان های زمستانه منطقه سیستان (مورد یخندهان ژانویه سال ۲۰۰۸)، مجله جغرافیا و برنامه ریزی، ۱۹ (۵۲): ۱۱۳-۱۴۰.
- خسروی، یونس؛ دوستکامیان، مهدی؛ طاهریان، الله مراد؛ شیری کریم وند، امین. (۱۳۹۷). بررسی و تحلیل فرارفت دمایی امواج سرمایشی ایران، تحقیقات کاربردی علوم جغرافیایی، ۵۰ (۵): ۱۷-۳۷.
- دارند، محمد؛ مسعودیان، سید ابوالفضل. (۱۳۹۴). مدت زمان انتظار رخداد یخندهان در ایران، تحقیقات جغرافیایی، ۳۰ (۱): ۸۱-۹۴.
- دوستکامیان، مهدی؛ جلالی، مسعود؛ طاهریان زاد، الله مراد. (۱۳۹۶). تحلیل آماری - همدیدی امواج سرمایشی و فرآیند شمال غرب ایران، پژوهش های جغرافیای طبیعی، ۴۹ (۴): ۶۹۹-۷۱۸.
- صرحائیان، فاطمه؛ کمالی، غلامعلی. (۱۳۸۴). بررسی آماری وقوع سرما و یخندهان های بهاره و پاییزه در استان آذربایجان شرقی، مجله دانش کشاورزی، ۴ (۲۰۹-۱۹۸): ۴-۲۰۹.
- عزیزی، قاسم. (۱۳۸۳). ارزیابی سینوپتیکی یخندهان های فرآیند بهاری در نیمه غرب ایران، فصل نامه مدرس علوم انسانی، شماره ۱: ۱۱۶-۹۹.
- عزیزی، قاسم؛ اکبری، طیبه؛ داودی، محمود؛ اکبری، مهری. (۱۳۸۸). تحلیل همدیدی موج سرمای شدید دی ماه ۱۳۸۶ ایران، پژوهش های جغرافیای طبیعی، ۷۰ (۱-۱۹): ۱-۷۰.

- عزیزی، قاسم؛ میری، مرتضی؛ رحیمی، مجتبی. (۱۳۹۴). *شناسایی الگوهای همدیدی مؤثر در شکل‌گیری ناهنجاری‌های دمایی ایران و اروپا*. مجله پژوهش‌های جغرافیای طبیعی، ۴۷(۱): ۹۱-۱۰۴.
- عساکر، حسین؛ شاهبایی کوتنایی، علی. (۱۳۹۶). *تحلیل همدید الگوهای جوی توأم با موج‌های سرمای زمستانه در ایران، جغرافیا و مخاطرات محیطی*. ۲۳: ۱۰۹-۱۲۴.
- علیجانی، بهلول؛ براتی، غلامرضا. (۱۳۷۵). *تحلیل سینوپتیک یخ‌بندان فروردین ۱۳۶۶*. فصلنامه تحقیقات جغرافیایی، ۴۰: ۱۳۵-۱۲۱.
- علیجانی، بهلول؛ هوشیار، محمود. (۱۳۸۷). *شناسایی الگوهای سینوپتیکی سرمایهای شدید شمال غرب ایران*. فصلنامه پژوهش‌های جغرافیایی طبیعی ایران، ۶۵: ۱۶-۱.
- قویدل رحیمی، یوسف؛ فرج زاده اصل، منوچهر؛ مطلبی زاد، سولماز. (۱۳۹۵). *تحلیل آماری و سینوپتیک امواج سرمایی منطقه شمال غرب ایران*. مجله تحقیقات کاربردی علوم جغرافیایی، شماره ۴۰: ۲۹-۴۶.
- کریمی، صادق؛ نگارش، حسین؛ طاوی، علیجانی، بهلول. (۱۳۹۱). *تحلیل همدید امواج سرمایهای فراگیر ایران*. مجله جغرافیا و توسعه، ۲۹: ۷۶-۵۵.
- کمالی، غلامعلی. (۱۳۸۱). *سرماهای زیان‌بخش به بخش کشاورزی ایران در قالب معیارهای احتمالی*. فصل نامه تحقیقات جغرافیایی، ۶۳(۶۴): ۴۴-۳۰.
- لشکری، حسن. (۱۳۸۷). *تحلیل سینوپتیکی موج سرمای فراگیر ۱۳۸۲ در ایران، پژوهش‌های جغرافیای طبیعی*. ۱-۱۸: ۶۶.
- مسعودیان، سید ابوالفضل؛ دارند، محمد. (۱۳۹۲). *تحلیل همدید یخ‌بندان‌های فراگیر و بادوام ایران، جغرافیا و برنامه‌ریزی محیطی*. ۲۴(۲): ۱۲۹-۱۴۰.
- مؤمن، قادر. (۱۳۸۵). *تحلیل یخ‌بندان‌های شمال غرب آذربایجان و تأثیر سرمای بهاره بر سردرختی‌های منطقه‌ی خود*. پایان‌نامه کارشناسی ارشد اقلیم‌شناسی، دانشکده‌ی علوم انسانی و اجتماعی، دانشگاه تبریز.
- نوحی، کیوان؛ پدرام، مژده؛ صحرائیان، فاطمه؛ کمالی، غلامعلی. (۱۳۸۶). *بررسی و تحلیل تاریخ آغاز و خاتمه‌ی یخ‌بندان‌های تابشی - فرارفتی در استان آذربایجان غربی و شرقی، پژوهش و سازندگی در زراعت و باگبانی*. ۷۵: ۷۸-۸۵.
- هاشمی، فریدون. (۱۳۴۸). *تجزیه و تحلیل استاتیستیکی از سرمای تهران، انتشارات تحقیقات و بررسی علمی هواشناسی کشور، تهران*.
- هزبرپور، قاسم؛ علیجانی، بهلول. (۱۳۸۶). *تحلیل همدید یخ‌بندان‌های استان اردبیل*. فصلنامه جغرافیا و توسعه، ۱۰: ۱۰۶-۱۰۹.
- یارنال، برنت. (۱۹۹۳). *اقلیم‌شناسی همدید و کاربردهای آن در مطالعات محیطی*. ترجمه‌ی سید ابوالفضل مسعودیان، انتشارات دانشگاه اصفهان.
- Arkadius, M., Katarzyna, S.P., Agnieszka, M. (2015). **Frost periods and frost-free periods in Poland and neighbouring countries**, Journal of Open Geosciences, 7 (1): 812-823. DOI:10.1515/geo-2015-0061.
- Blanc, M.L., Geslin, H., Holzberg, I.A. Mason, B. (1963). **Protection against frost damage**, Report of the CAgM WG, WMO, 133: 51-62.

- Gabriela, M. and Tercio, A. (2007). **Dynamics of Wave Propagation Leading to Frost in the Extrtropical Latitude Versus Tropical Latitude**, Departement of de Ciencias Atmospherics, University of Sao Paulo, 67:86-98.
- Gabriela, V. M.; Compagnucci, R. Maro, N. Nunez and Alejandra S. (2003). **Surface Cirulation Associated with Frost in the West PAMPAS**, International Journal of Climatology, International Journal Climatol. 23:941-961.
- Gandomkar, A., Hasanzadeh, A., ziapour, A. (2014). **Synoptic Analysis of Spring Frost of Eslam Abad-E-Gharb (Cold spring, 1989 and 1993)**, Management and Humanity Sciences, 3: 3950-3961.
- Kim, J.A., Byun, H.R. (2016). **Spatiotemporal variability of the latest frosts in Korean Peninsula and causes of atmospheric circulation**, Journal of Meteorol Atmos Phys, 128 (5): 663-675.
- Michael R. G., Black, M., Risbey, J.S., Peter U., , Hope, P.K., Haustein, K., Mitchell, D. (2018). **Severe Frosts in Western Australia in September 2016**, Journal of Bulletin of the American Meteorological Society, 99 (1): 150-154.
- Paschalidou, A.K., Kassomenos, P.A., McGregor, G R. (2017). **Analysis of the synoptic winter mortality climatology in five regions of England: Searching for evidence of weather signals**, Journal of Science of the Total Environment, 598: 432-444. DOI: 10.1016/j.scitotenv.2017.03.276.
- Park, T.W., Ho, C.H., Deng, Y. (2014). **A synoptic and dynamical characterization of wave-train and blocking cold surge over East Asia**, Journal of Climate Dynamics, 3: 753-770. DOI 10.1007/s00382-013-1817-6.
- Pfahl, S. (2014). **Characterising the relationship between weather extremes in Europe and synoptic circulation features**, Journal of Nat Hazards Earth Syst. Sci, 14: 1461–1475.
- Rousta, I., Doostkamian, M., Haghghi, E., Mirzakhani, B. (2016). **Statistical-Synoptic Analysis of the Atmosphere Thickness Pattern of Iran's Pervasive Frosts**, Journal of Climate, 52: 402-411. DOI: 10.1175/JCLI-D-15-0411.1.
- Zeng, W., Yu, Z., Li, X. (2018). **The influence of elevation, latitude and Arctic Oscillation on trends in temperature extremes over northeastern China, 1961–2011**, Journal of Meteorology and Atmospheric Physics, 130 (2): 191-209.